

УДК 56.016.3:551.734.5

ВИД *PALMATOLEPIS TATARICA OVNATANOVA ET GATOVSKY, 2020:* ИСТОРИЯ ЕГО ВЫДЕЛЕНИЯ И ИНТЕРПРЕТАЦИИ В МИРОВОЙ ЛИТЕРАТУРЕ ПО КОНОДОНТАМ ПОЗДНЕГО ДЕВОНА

© 2023 г. Н. С. Овнатанова^a, *, Л. И. Кононова^b, **

^aВсероссийский научно-исследовательский геолого-разведочный нефтяной институт, Москва, 105118 Россия

^bМосковский государственный университет им. М.В. Ломоносова, Москва, 119991 Россия

*e-mail: ovnatanova@gmail.com

**e-mail: 2216614@list.ru

Поступила в редакцию 10.02.2022 г.

После доработки 25.08.2022 г.

Принята к публикации 25.08.2022 г.

Статья посвящена одному из широко развитых в фаменских отложениях мира представителю конодонтов группы *Palmatolepis subperlobata*, название которого в течение более полувека менялось от *Pa. subperlobata* subsp. a Helms, 1963 до *Pa. subperlobata helmsi* Ovnatanova, 1976 и затем *Pa. subperlobata tatarica* Ovnatanova et Gatovsky, 2020. В статье этот подвид рассматривается как самостоятельный вид, обсуждаются сходство и отличия его голотипа и голотипов видов, предложенных в качестве замены преоккупированного названия. Предлагается авторская схема филогенетического развития группы *Pa. subperlobata*.

Ключевые слова: конодонты, *Palmatolepis*, биостратиграфия, поздний девон, фамен, филоморфогенез

DOI: 10.31857/S0031031X23010105, **EDN:** FJVOMK

ВВЕДЕНИЕ

Более чем полуторавековая история изучения конодонтов, в т.ч. представителей позднедевонского рода *Palmatolepis* Ulrich et Bassler, приоткрыла многие тайны возникновения и происхождения видов этого рода, что нашло отражение в многочисленных публикациях (Müller, 1956; Ziegler, 1962, 1969, 1971 и др.). По недавним подсчетам, в этом роде предложено свыше 200 видовых и подвидовых названий (Becker, Hartenfels, 2016), и их число продолжает увеличиваться. Несократные попытки выделения подродов не сыскали множества сторонников, как и система мультиэлементных родов Е. Дзика (Dzik, 2006); видимо, разукрупнение этого рода еще впереди. Несомненным достижением явилась разработанная Й. Хелмсом во второй половине XX в. филоморфогенетическая схема развития видов рода *Palmatolepis* в привязке к аммонитовой шкале (Helms, 1963), а в последующем – и к конодонтовой зональности. В этой схеме уже наметилось выделение ряда ветвей, которые Хелмс считал подродами, но они продолжают рассматриваться как группы близких друг к другу видов.

Последующий прогресс в изучении конодонтов был связан, в первую очередь, с установлением филогенетических связей в развитии рода *Pal-*

matolepis в фаменское время. Подробные результаты этих исследований освещены в монографии К. Цзы и В. Циглера (Ji, Ziegler, 1993) на основании обширной коллекции, полученной из разреза Лали (Lali) в Южном Китае. Этими исследованиями впервые рассматривается происхождение и филогения группы *Pa. subperlobata* Branson et Mehl, 1934. Хотя виды этой группы относительно немногочисленны, они имеют существенное стратиграфическое значение, а *Pa. subperlobata* недавно предложено использовать в качестве маркера нижней границы фаменского яруса (Spaletta et al., 2017). Один из таксонов, входящих в состав этой группы, – это подвид *Pa. subperlobata tatarica* Ovnatanova et Gatovsky, 2020. Название и таксономический статус этого подвида вызывают разногласия, в связи с чем мы здесь попытаемся более обстоятельно рассмотреть его характеристику и место в общей филоморфогенетической схеме группы *Pa. subperlobata*.

Виды рода *Palmatolepis* различаются на основании особенностей морфологии Ра-элементов. В статье при их характеристике использованы морфологические термины, объяснение которых дано ранее (Барсов и др., 1987; Ovnatanova, Kononova, 2008). В аппарат входят два симметричных Ра-элемента, правый и левый, не отличающиеся по форме и скульптуре друг от друга, что

упрощает анализ морфологии и сравнение таксонов этого рода.

ВИД PALMATOLEPIS TATARICA

Первым обратил внимание на формы, похожие на *Pa. subperlobata*, но отличающиеся пережимом внутренней лопасти, Хелмс (Helms, 1963). В его статье название *P. subperlobata* n. subsp. а появляется при описании филоморфогенеза рода *Palmatolepis* (Helms, 1963, с. 458); кратко приведены признаки, отличающие его от *Pa. subperlobata*. Затем название *P. (Pand.) subperlobata* n. subsp. а находим в подписи к филоморфогенетической схеме (Helms, 1963, с. 468) и в объяснениях к фототаблицам к форме *Palmatolepis (Pand.) subperlobata* subsp. а (Helms, 1963, с. 478, 480, 482). Таким образом, Хелмс не дал этому подвиду формального описания, рассматривая такие формы только как уклоняющиеся от основного морфотипа. Аналогичные “подвиды” с буквенными названиями он предложил выделять и у ряда других видов рода *Palmatolepis*, например, *Pa. (Panderolepis) serrata* n. subsp. а, считая их не заслуживающими статуса самостоятельного таксона.

Н.С. Оvnatanova (1976), учитывая накопившийся за прошедшие годы материал, пришла к выводу о том, что такие формы заслуживают выделения в качестве самостоятельного подвида, и дала ему название *Pa. subperlobata helmsi* Ovnatanova, 1976, сделав его валидным. Это решение нашло поддержку среди части конодонтологов, и название *Pa. subperlobata helmsi* присутствует в ряде публикаций (Кононова, 1979; Наседкина, Плотникова, 1979; Барков и др., 1987; Çapkinoğlu, 1997, 2005; Стрельченко, Кручек, 2013). Одновременно автоматически появился номинативный подвид *Pa. subperlobata subperlobata* Branson et Mehl, его упоминание можно найти в целом ряде работ (напр., Деулин, 2000; Плотицын и др., 2015), но многие продолжали считать выделение подвидов у этого вида нецелесообразным, ограничиваясь только видовым названием. Поэтому элементы *Pa. subperlobata helmsi* нередко фигурируют как принадлежащие *Pa. subperlobata* s.l. (Халымбаджа, Чернышева, 1978; Халымбаджа, 1981; Wang, 1989; Кузьмин, Мельникова, 1991; Ji, Ziegler, 1993; Metzger, 1994; Savage, Yudina, 1999).

Позднее, при изучении фаменских отложений Северо-Западного Таиланда, Н. Сэведж (Savage, 2013) выделил подвид *Pa. subperlobata lapoensis*, который отличается от номинативного подвида резко заостренной треугольной лопастью и заостренным задним концом; при этом, как и у *Pa. subperlobata subperlobata*, присутствует свободный лист и платформа практически гладкая (тонкострогреневая). Нами он рассматривается как самостоятельный вид.

В начале 2000-х гг. выяснилось, что, в соответствии со статьей 52.1 МКЗН (Международный..., 2000), название *Pa. subperlobata helmsi* должно считаться преокупированным, поскольку В. Циглером на год ранее был назван в честь Хелмса вид *Palmatolepis helmsi* Ziegler, 1962. Г. Клаппер с соавт. (Klapper et al., 2004) посчитали возможным использовать в качестве замещающего названия (повысив ранг подвида до вида) *Pa. lobicornis* Schülke, 1995. Этому предложению последовали, например, Г. Сильверио и др. (Silvério et al., 2021, с. 213), хотя у них в синонимике он фигурирует со старым названием *Pa. (Panderolepis) subperlobata* subsp. a.

В 2006 г. Е. Дзик (Dzik, 2006, с. 138) описал в составе аппаратурного рода *Conditolepis* новый вид *C. linguiloba*, рассматриваемый им как синоним *Pa. superlobata helmsi*, но не как формальное замещающее название. В описании этого нового вида отсутствует синонимика, а для желающих ознакомиться с ней приведен перечень некоторых статей (Wolska, 1967; Wang, 1989; Ji, Ziegler, 1993; Metzger, 1994) без указания номеров таблиц и фотографий с изображением вида.

Таким образом, перечисленные выше действия не устранили омонимии названия *Pa. subperlobata helmsi*, поэтому Н.С. Оvnatanova и Ю.А. Гатовский (2020) предложили для него новое название *Pa. subperlobata tatarica* Ovnatanova et Gatovsky, nom. nov. с сохранением его голотипа (Оvnatanova, 1976, табл. IX, фиг. 7), что удовлетворяет требованиям МКЗН.

Род *Palmatolepis* Ulrich et Bassler, 1926

Palmatolepis tatarica Ovnatanova et Gatovsky, 2020

Palmatolepis (Panderolepis) subperlobata subspecies a: Helms, 1963, с. 458, 468, 478, 480, 482, Taf. 1, fig. 19; Taf. 2, figs. 23, 24; Taf. 3, fig. 10; text-fig. 2.17.

Palmatolepis subperlobata: Spasov, Filipović, 1966, pl. 3, figs. 1, 2; Glenister, Klapper, 1966, pl. 92, fig. 6 (только); Wolska, 1967, pl. 11, fig. 10 (только); Druce, 1976, pl. 63, fig. 3 а, б (только); Халымбаджа, Чернышева, 1978, с. 35, табл. 1, фиг. 21; Наседкина, Плотникова, 1979, табл. 3, фиг. 2; Халымбаджа, 1981, табл. 9, фиг. 11; Кузьмин, Мельникова, 1991, табл. 1, фиг. 19; Metzger, 1994, pl. 17, fig. 9 (только); Savage, Yudina, 1999, pl. 5, figs. 15, 16 (только).

Palmatolepis subperlobata subspecies a: Druce, 1976, с. 170, pl. 58, figs. 2 а–с; 5 а, б.

Palmatolepis subperlobata helmsi: Оvnatanova, 1976, с. 113, табл. 9, фиг. 7 а, б; Ovnatanova, 1979, pl. 1, figs. 29, 30 (только); Барков и др., 1987, с. 29, табл. 4, фиг. 26 а, б; 28 и 30; Çapkinoğlu, 1997, pl. 3, fig. 25; Стрельченко, Кручек, 2013, табл. 1, фиг. 13.

Palmatolepis lobicornis: Klapper et al., 2004, fig. 7.30; Çapkinoğlu, 2005, табл. 4, фиг. 14, 17 (только); Бушнев и др., 2017, рис. 3, фиг. 23.

Palmatolepis linguiloba: Фортунатова и др., 2018, рис. 13, фиг. 6.

Palmatolepis subperlobata tatarica: Оvnatanova, Гатовский, 2020, с. 111.

Голотип — ВНИГНИ, № 40/68, левый Радиальный элемент; Татарстан, Приказанская площадь,

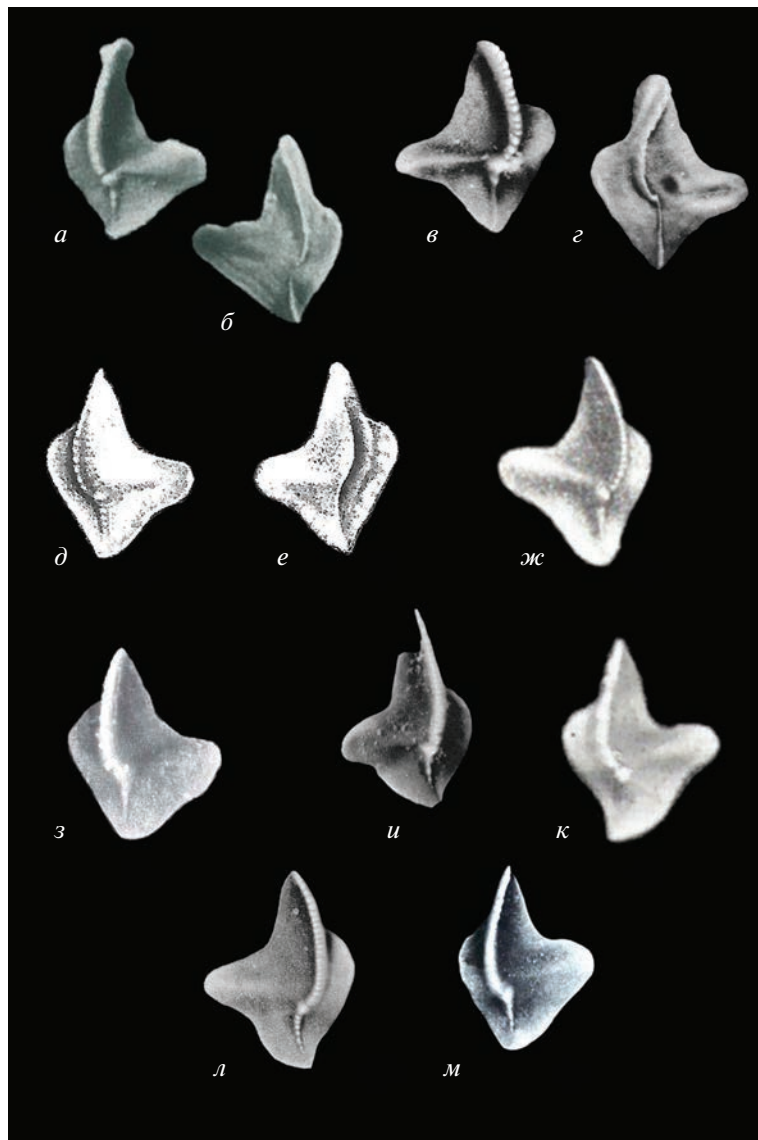


Рис. 1. Объем вида *Palmatolepis tatarica* Ovnatanova et Gatovsky, 2020 в понимании авторов статьи. На рисунке приведены изображения, заимствованные из работ разных авторов с использованными ими названиями: *a–г* – *Pa. subperlobata* subsp. *a* Helms, 1963: *a*, *б* – Helms, 1963, табл. 1, фиг. 19, табл. 3, фиг. 10: *a* – вид с оральной стороны; *б* – вид с аборальной стороны; *в*, *г* – Druce, 1976, табл. 58, фиг. 2b, c: *в* – вид с оральной стороны, *г* – вид с аборальной стороны; *д* – *з* – *Pa. subperlobata helmsi* Ovnatanova, 1976: *д*, *е* – Овната́нова, 1976, табл. 9, фиг. 7a, b (голотип): *д* – вид с оральной стороны, *е* – вид с аборальной стороны; *ж* – Барков и др., 1987, табл. 4, фиг. 30, вид с оральной стороны; *з* – Çapıkoğlu, 1997, табл. 3, фиг. 25, вид с оральной стороны; *и–л* – *Pa. subperlobata* Branson et Mehl, 1934: *и* – Glenister, Klap-рет, 1966, табл. 92, фиг. 6, вид с оральной стороны, *к* – Халымбаджа, 1981, табл. 9, фиг. 11, вид с оральной стороны; *л* – Metzger, 1994, табл. 17, фиг. 9, вид с оральной стороны; *м* – *Pa. lobicornis* Schülke, 1995: Klapper et al., 2004, рис. 7.30, вид с оральной стороны

скв. 116, инт. 1633.6–1630.1 м; фаменский ярус, нижнефаменский подъярус, зона *strepida*; рис. 1, *д*, *е* (Овната́нова, 1976, табл. 9, фиг. 7a, 7b).

Описаные (рис. 1, *а–м*; 2, *м*). Ра-элемент с относительно широкой, гладкой (тонкошагреневой) платформой треугольных очертаний. Передний край наружной стороны платформы приподнятый, выпуклый, имеет округлые очертания. Длинная округлая лопасть расположена на уровне

главного бугра и направлена вбок. Задний и передний синусы, оконтуривающие лопасть, неглубокие. Передний синус глубже заднего. Задний синус иногда чрезвычайно слабо выражен (рис. 1, *а*, *б*). Задний конец платформы заострен и приподнят. Свободный лист отсутствует. Осевой гребень зубчатый, сигмоидально изогнут, позади главного бугра выражен слабо. Края боковых сторон платформы подходят к осевому гребню на разных расстояниях.

Размеры голотипа в мм: 1 – 0.7 мм, w – 0.5 мм, где 1 – длина элемента, w – ширина элемента с учетом лопасти.

Изменчивость. Проявляется в вариациях длины лопасти от умеренной (рис. 1, з, и, м) до достаточно длинной (рис. 1, а–ж, к), а также в присутствии у некоторых экземпляров небольшогоrudимента свободного листа. Меняется в процессе роста и задний конец платформы – от заостренного (рис. 1, д, к) до округлого (рис. 1, ж, з, м).

Сравнение. Сходен с *Pa. subperlobata* гладкой поверхностью платформы и четко выраженной лопастью, отличается относительно длинной, округлой лопастью и отсутствием свободного листа, тогда как у *Pa. subperlobata* свободный лист составляет 1/5–1/10 длины платформы.

Распространение. Россия: Волго-Уральский регион, восточный склон Северного Урала, Тимано-Печорская провинция, зоны *crepida* – Early marginifera; Белоруссия, петровский горизонт, зона Late rhomboidea; Германия, Босния: фаменские отложения, зона *Cheiloceras*, возможно *Platyclymenia*; Польша, Свентокшиские горы, разрез Яблона, зона *crepida*; Турция, формация Айнебуму, зона *crepida*; США, известняки Вест Рейнджа и сланцы Пайлот в Неваде; Канада, формация Лонг Рапидс; Западная Австралия, формация Вирджин Хиллс.

СРАВНЕНИЕ ГОЛОТИПА *PA. TATARICA* С ГОЛОТИПАМИ *PA. LOBICORNIS SCHÜLKE* И *CONDITOLEPIS LINGUILoba DZIK*

Голотип *Pa. tatarica* сходен с голотипом вида *Pa. lobicornis* Schülke треугольными очертаниями платформы, гладкой ее поверхностью, соединением боковых краев платформы с осевым гребнем на разных расстояниях, а также присутствием длинной лопасти. Различия выражаются в отсутствии свободного листа и рога у *Pa. tatarica*. Очертания лопасти волнистые, но без выпуклости (или рога).

Сходство голотипа *Pa. tatarica* с голотипом *Conditolepis linguiloba* Dzik проявляется в треугольных очертаниях платформы, ее гладкой поверхности, длинной округлой лопасти, отсутствии свободного листа, а также в соединении боковых сторон платформы со средним гребнем на разных расстояниях. Основное различие проявляется в приподнятом, выпуклом, округлом очертании переднего края наружной стороны платформы у *Pa. tatarica* [этот признак был отмечен еще Хелмсом (Helms, 1963) как его утолщение в виде вздутия или выпуклости]. У голотипа *Co. linguiloba* этот признак (вздутие, выпуклость) не наблюдается; край передней части наружной стороны платформы пологий, плавно приближается к осевому гребню, не образуя выпуклости.

Различия выражаются также в разных соотношениях длины платформы к ее ширине (эта особенность становится очевидной, если мысленно убрать лопасть, искающую эти параметры): у *Pa. tatarica* платформа относительно широкая (отношение длины платформы к ее ширине равно 2 : 1), тогда как у *Co. linguiloba* платформа вытянута в длину (отношение длины к ширине составляет 3 : 1). Положение лопасти у голотипа *Pa. tatarica* фиксируется на уровне главного бугра, тогда как у *Co. linguiloba* лопасть направлена к переднему концу платформы. Различия выражаются и в конфигурации переднего синуса, оконтуривающего лопасть: у *Pa. tatarica* передний синус неглубокий, пологий, тогда как у голотипа *Co. linguiloba* он глубокий. Задний конец платформы у голотипа *Pa. tatarica* слегка заострен и приподнят вверх; угол заостренности его равен 85°, тогда как у *Co. linguiloba* он составляет 60°.

Таким образом, *Pa. tatarica*, несмотря на достаточно заметное сходство с *Pa. lobicornis* и *Co. linguiloba*, является самостоятельной таксономической единицей.

СОСТАВ И ФИЛОГЕНЕТИЧЕСКИЕ СВЯЗИ ПРЕДСТАВИТЕЛЕЙ ГРУППЫ *PALMATOLEPIS SUBPERLOBATA*

Вопросы филоморфогенеза *Pa. subperlobata* и связанных с ним родством других видов, как известно, обсуждаются в литературе, начиная с публикации Циглера (Ziegler, 1962), в которой анализировалась ветвь *Pa. subperlobata*–*Pa. glabra*, а также в первой филоморфогенетической схеме всего рода *Palmatolepis* (Helms, 1963), в которой принималось возникновение *Pa. subperlobata* s. str. от *Pa. triangularis* Sannemann, 1955, также показан подвид *Pa. (Pand.) subperlobata* n. subsp. a и его филогенетические связи.

Первая филогенетическая схема группы *Pa. subperlobata*, а также другие группы фаменских пальматолепид, рассматривались в монографии Цзы и Циглера (Ji, Ziegler, 1993) на основании коллекций, полученных при изучении разреза Лали (Lali) в Южном Китае. Позднее раннефаменские пальматолепиды, в т.ч. и группа *Pa. subperlobata*, анализировались И. Шульке (Schülke, 1995), которым были выделены новые отнесенные к этой группе виды: *Pa. arcuata* Schülke и *Pa. lobicornis* Schülke.

В предлагаемую нами филоморфогенетическую схему группы *Pa. subperlobata* включены: *Pa. subperlobata* Branson et Mehl, 1934 и возникший от него вид *Pa. tatarica* Ovnatanova et Gatoovsky, 2020 (=*Pa. subperlobata helmsi* Ovnatanova, 1976), *Pa. arcuata* Schülke, 1995, *Pa. lobicornis* Schülke, 1995, *Pa. wolskiae* Ovnatanova, 1969, *Pa. circularis* Szulczewski, 1971, *Pa. linguiloba* (Dzik, 2006),

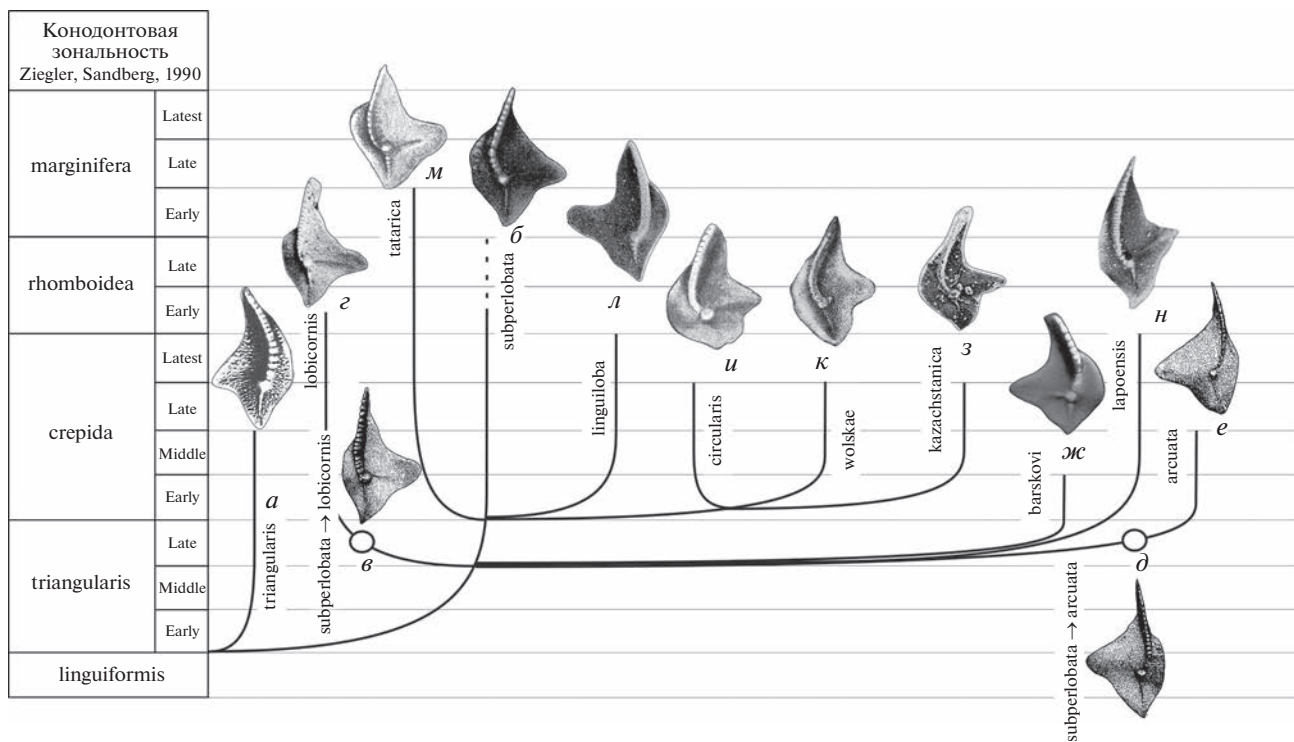


Рис. 2. Филоморфогенез группы *Palmatolepis subperlobata*: *α* – *Pa. triangularis*: Sannemann, 1955, табл. 24, фиг. 3 (голотип); *β* – *Pa. subperlobata*: Branson, Mehl, 1934, табл. 18, фиг. 11 (леккотип) (выбран: Ziegler, 1958, с. 64; изображение из: Over, 1997, табл. 10, фиг. 2); *γ* – *Pa. subperlobata* Branson et Mehl, переходная форма к *Pa. lobicornis* Schülke (Schülke, 1995, рис. 26, фиг. 11); *ε* – *Pa. lobicornis* Schülke: Schülke, 1995, рис. 26, фиг. 2 (голотип); *δ* – *Pa. subperlobata* Branson et Mehl, переходная форма к *Pa. arcuata* Schülke (Schülke, 1995, рис. 26, фиг. 14); *η* – *Pa. arcuata* Schülke: Schülke, 1995, рис. 26, фиг. 5 (голотип); *ζ* – *Pa. barskovi* Tagarieva et Artyushkova: Tagarieva, Artyushkova, 2020, рис. 4, фиг. 1а (голотип); *ι* – *Pa. kazachstanica* Kuzmin: Кузьмин, 1992, табл. 1, фиг. 4 (голотип); *κ* – *Pa. wolskae* Ovnatanova: Овнаташова, 1969, табл. 1, фиг. 6 (голотип); *λ* – *Pa. linguiloba* (Dzik): Dzik, 2006, рис. 101 N (голотип); *μ* – *Pa. tatarica* Ovnatanova et Gatovsky: Овнаташова, 1976, табл. 9, фиг. 7 (голотип), *θ* – *Pa. lapoensis* Savage: Savage, 2013, фиг. 11.8 (голотип).

Pa. barskovi Tagarieva et Artyushkova, 2020, *Pa. kazachstanica* Kuzmin, 1992 (=*Pa. angulata* Johnston et Chatterton, 2001) и *Pa. lapoensis* Savage, 2013 (=*Pa. subperlobata* *lapoensis* Savage, 2013). Для облегчения восприятия морфологических особенностей нами приведены изображения голотипов всех видов этой группы (рис. 2), филогенетические связи которых рассматриваются в настоящей статье в привязке к конодонтовой зональности шкалы Циглера и Ч. Сандберга (Ziegler, Sandberg, 1990).

Вид *Pa. tenuipunctata* Sannemann, 1955, являющийся предковой формой для группы *Pa. glabra*, возможно, является самым поздним, терминальным членом группы *Pa. subperlobata*, так как у него чрезвычайно слабо выражена лопасть, но при этом сохраняется гладкая поверхность платформы – характерный признак этой группы. Авторы настоящей статьи разделяют мнение о родственной связи видов *Pa. tenuipunctata* и *Pa. glabra*, высказанное Циглером (Ziegler, 1962) и Хелмсом (Helms, 1963).

Родоначальник рассматриваемой группы, вид *Pa. subperlobata* (рис. 2, *β*), произошел от *Pa. triangularis* Sannemann (рис. 2, *α*) во время зоны Early triangularis, унаследовав от предка треугольные очертания платформы, хорошо выраженную лопасть и свободный лист. Существенным изменениям подверглась поверхность платформы за счет исчезновения бугорковой скульптуры, в результате чего она стала гладкой. В дальнейшем у большинства видов, произошедших от *Pa. subperlobata*, исчезает свободный лист.

Во время зоны Late triangularis от *Pa. subperlobata* возникает *Pa. arcuata* (рис. 2, *η*). Он связан с *Pa. subperlobata* предполагаемой переходной формой, изображенной Шульке (Schülke, 1995, рис. 26, фиг. 14), она приведена здесь на рис. 2, *δ*. У этой формы есть сходство с предком, выраженное в треугольных очертаниях платформы, гладкой поверхности, четко выраженной лопасти и наличии свободного листа. В процессе эволюционного перехода у *Pa. arcuata* происходило выпрямление переднего синуса и удлинение лопасти. Вид этот возник во время зоны Late triangularis.

laris и завершил развитие в конце зоны Middle crepida (Schülke, 1995).

Во время зоны *triangularis* (возможно, Late *triangularis*, когда одновременно от *Pa. subperlobata* появляются *Pa. lobicornis*, *Pa. arcuata* и *Pa. barskovi*) возникает вид *Pa. lapoensis* (рис. 2, *н*), унаследовавший от предка треугольные очертания платформы, свободный лист и почти гладкую поверхность платформы. У него произошло углубление переднего синуса и выпрямление заднего синуса, а также изменились очертания лопасти — она стала заостренно-треугольной. Край передней части наружной стороны платформы становится близким к прямому, в отличие от предка, у которого эта часть платформы округлая. *Pa. lapoensis* распространен в зонах *triangularis* и *crepida* и до сих пор обнаружен только в Таиланде (Savage, 2013).

Вид *Pa. lobicornis* (рис. 2, *г*) произошел от *Pa. subperlobata* во время зоны Late *triangularis* и связан с предком переходной формой, которая сходна с *Pa. subperlobata* треугольными очертаниями платформы, гладкой поверхностью и хорошо выраженной лопастью, а также присутствием свободного листа и сигмоидально изогнутого осевого гребня, заканчивающегося вблизи заднего конца платформы. По-видимому, именно такая переходная форма приведена Шюльке на рисунке филогенетической схемы развития группы *Pa. subperlobata* (Schülke, 1995, рис. 26, фиг. 4). Она приведена нами здесь на рис. 2, *в*. У этой формы наблюдается небольшая извилистость края внутренней стороны платформы. В процессе развития вида *Pa. lobicornis* на переднем крае лопасти образуется утолщение в виде небольшого “рога” (рис. 2, *г*). Стратиграфическое распространение *Pa. lobicornis* охватывает зону Late *triangularis*—начало зоны *rhomboidea*.

От *Pa. subperlobata* во время зоны Late *triangularis* происходит *Pa. barskovi* (рис. 2, *ж*). От предка он унаследовал треугольные очертания платформы и ее гладкую поверхность, но исчез свободный лист. Отличительная особенность вида проявляется в высокой передней части осевого гребня, состоящей из узких заостренных зубцов, постепенно поникающихя и резко заканчивающихся до достижения ими главного бугра. Отличительная особенность *Pa. barskovi*, а именно — прерывистость осевого гребня, не была отмечена нами ранее у франских пальматолепид (Ovnatanova, Kononova, 2008), не зафиксирована она также и у фаменских видов. Это позволяет условно считать ветвь *Pa. barskovi* тупиковой. Подобная прерывистость осевого гребня изредка проявляется у некоторых других конодонтов, например, у *Polygnathus corpulentus* Gagiev et Kononova, у которого осевой гребень в средней части прерывается, становится едва заметным и в виде цепочки мелких

буторков прослеживается вновь ближе к заднему концу платформы (Гагиев и др., 1987). Распространение *Palmatolepis barskovi* охватывает зоны Late *triangularis*—Early *crepida*.

В начале времени зоны Early *crepida* от *Pa. subperlobata* возникают *Pa. tatarica*, *Pa. wolskae* и, возможно, *Pa. linguiloba*. Вид *Pa. tatarica* (рис. 2, *м*) сохранил от предка гладкую поверхность платформы, ее треугольные очертания и сигмоидальный осевой гребень, но исчез свободный лист, углубился передний синус, и удлинилась лопасть. Передний край наружной стороны платформы стал приподнятым, выпуклым и округлым. Этот вид существовал в диапазоне зон Early *crepida*—Early *marginifera* включительно.

Вид *Pa. linguiloba* (рис. 2, *л*) унаследовал от *Pa. subperlobata* треугольные очертания платформы и ее гладкую поверхность, однако произошло сокращение длины свободного листа, вплоть до его полного исчезновения, удлинение лопасти и углубление переднего синуса (угол, образованный краями синуса, становится равным 90°). Нельзя исключить происхождение *Pa. linguiloba* и от *Pa. tatarica* за счет удлинения платформы, приведшего к исчезновению выпуклости и приподнятости переднего края наружной стороны платформы. Диапазон распространения вида охватывает зону *crepida*.

Вид *Pa. wolskae* (рис. 2, *к*) ответвился от *Pa. subperlobata* и сохранил гладкую поверхность платформы и небольшую лопасть, но абрис платформы стал неправильно-овальным, исчез свободный лист, передний и задний синусы стали более глубокими. Задний конец платформы приобрел языковидные очертания. Распространен в зонах Early *crepida*—Late? *crepida*.

Во время зоны Early *crepida* от *Pa. wolskae* возник *Pa. circularis* (рис. 2, *и*), также с гладкой поверхностью платформы, небольшой лопастью и без свободного листа. Но у него платформа приобретает округлые очертания, сокращаются размеры лопасти, заостряется ее окончание. Лопасть очерчена относительно глубокими передним и задним синусами. Позади заднего синуса увеличивается степень выпуклости края платформы. Осевой гребень заканчивается, достигнув главного бугра, а задний гребень исчезает. Распространен в зонах Early—Late—Latest? *crepida*.

Во время зоны Early *crepida* от *Pa. wolskae* возникает и вид *Pa. kazachstanica* (рис. 2, *з*). От предка он унаследовал гладкую поверхность платформы, языковидный контур заднего конца, отсутствие свободного листа. Однако произошло удлинение лопасти, углубление переднего и заднего синусов; края переднего синуса сходятся под углом 90°. Этот вид встречается в интервале зон Early *crepida*—Late *crepida*. К *Pa. kazachstanica* можно отнести экземпляры, определенные под

различными названиями: *Pa. aff. circularis* (Sandberg, Ziegler, 1973, табл. 1, фиг. 1–12), *Pa. wolskae* [Klapper, Lane, 1985, рис. 15.1, 15. 2?, 15.4, 15.5; Johnston, Chatterton, 1991, табл. 1, фиг. 22; Metzger, 1994, рис. 7.8, 7.9, 7.13 (только)]. Позднее Д. Джонстон и Б. Чаттертон описали аналогичные формы под новым названием *Palmatolepis angulata* из разрезов Канады (Johnston, Chatterton, 2001, с. 22, 23; табл. 5, фиг. 15–19; табл. 6, фиг. 4, 5), так как статья А.В. Кузьмина (1992) им была неизвестна. Авторы этого вида предполагали его возникновение от *Pa. wolskae* или форм близких к нему за счет удлинения лопасти. Вид *Pa. kazachstanica* описан из фаменских отложений (зона *crepida*) Атасуйского рудного района в Центральном Казахстане (Кузьмин, 1992). В Канаде вид *Pa. angulata* известен из пачки Морро формации Пализер (Paliser), охватывающей верхнюю часть зоны *Lower crepida* и нижнюю часть зоны *Upper crepida* (Johnston, Chatterton, 2001, с. 23). В США *Pa. angulata* обнаружен в штате Невада в известняках Вест Рэндж в Бактрийских горах под названием *Pa. wolskae* (Metzger, 1994). Мы считаем, что все эти экземпляры должны быть отнесены к *Pa. kazachstanica*, как опубликованному раньше, чем *Pa. angulata*, и, поэтому, имеющему приоритет.

ЗАКЛЮЧЕНИЕ

Сравнение характеристик голотипов видов *Pa. tatarica* Ovnatanova et Gatovsky, 2020, *Pa. lobicornis* Schülke, 1995 и *Pa. linguiloba* (Dzik, 2006) позволило доказать, что вид *Pa. tatarica* является самостоятельной систематической единицей. Намечены филогенетические связи между видами группы *Pa. subperlobata*, куда входит и вид *Pa. tatarica* (рис. 2).

Состав группы *Pa. subperlobata* расширен: наряду с подвидом *Pa. subperlobata* subsp. a Helms, 1963 (= *Pa. tatarica*) и видами *Pa. wolskae* и *Pa. circularis*, ранее рассматриваемыми в составе этой группы (Ji, Ziegler, 1993), в группу *Pa. subperlobata* включены также виды *Pa. linguiloba*, *Pa. kazachstanica* (= *Pa. angulata*), *Pa. arcuata*, *Pa. lobicornis*, *Pa. lapoensis*, наряду с *Pa. barskovi* Tagarieva et Artყushkova, 2020, установленным недавно в фаменских отложениях Южного Урала (Тагариева, Арყушкова, 2020).

* * *

Авторы искренне благодарны А.С. Алексееву за конструктивную критику, ценные замечания и моральную поддержку. Неоценимую техническую помощь при подготовке настоящей рукописи к печати авторам оказали М.В. Васильева и А.К. Бернада.

СПИСОК ЛИТЕРАТУРЫ

- Барсов И.С., Алексеев А.С., Кононова Л.И., Миедисова А.В.* Определитель конодонтов верхнего девона и карбона. М.: Изд-во Моск. ун-та, 1987. 144 с.
- Бушнев Д.А., Плотицын А.Н., Груздев Д.А., Бурдельная Н.С.* Органическое вещество фаменских отложений южной части гряды Чернышева (разрез на р. Изъель) // Нефтегазовая геология. Теория и практика. 2017. Т. 12. № 3. С. 1–17.
- Гагиев М.Х., Кононова Л.И., Пазухин В.Н.* Конодонты // Фауна и биостратиграфия пограничных отложений девона и карбона Берчогура (Мугоджары). М.: Наука, 1987. С. 91–97.
- Деулин Ю.В.* Конодонты верхнедевонских отложений севера Тимано-Печорской провинции и их стратиграфическое значение. Автореф. дисс. ... канд. геол.-мин. наук. Казань, 2000. 22 с.
- Кононова Л.И.* Значение конодонтов для стратиграфии фаменских и турнейских отложений Урала // Конодонты Урала и их стратиграфическое значение. Свердловск: УНЦ АН СССР, 1979. С. 72–93.
- Кузьмин А.В.* Использование конодонтов для расчленения фаменских отложений Атасуйского рудного района (Центральный Казахстан) // Изв. АН СССР. Сер. геол. 1992. № 8. С. 30–40.
- Кузьмин А.В., Мельникова Л.И.* Расчленение по конодонтам франских и нижнефаменских отложений южной части Хорейверской впадины (Тимано-Печорская провинция) // Бюлл. МОИП. Отд. геол. 1991. Т. 66. № 3. С. 62–72.
- Международный кодекс зоологической номенклатуры. Изд. 4-е. СПб.: ЗИН РАН, 2000. 221 с.
- Наседкина В.А., Плотникова Н.П.* О верхнедевонских конодонтах на восточном склоне Северного Урала // Конодонты Урала и их стратиграфическое значение. Свердловск: УНЦ АН СССР, 1979. С. 52–68.
- Овнатанова Н.С.* Новые верхнедевонские конодонты центральных районов Русской платформы и Тимана // Тр. ВНИГНИ. 1969. Вып. 93. С. 139–141.
- Овнатанова Н.С.* Новые позднедевонские конодонты Русской платформы // Палеонтол. журн. 1976. № 2. С. 106–115.
- Овнатанова Н.С., Гатовский Ю.А.* *Palmatolepis subperlobata tatarica* nom. nov. – новое подвидовое название для фаменского (верхний девон) подвида *Palmatolepis subperlobata helmsi* Ovnatanova, 1976 (Conodonta) // Палеонтол. журн. 2020. № 3. С. 111.
- Плотицын А.Н., Мизенс А.Г., Безносова Т.М.* К стратиграфии пограничных фран–фаменских отложений р. Шарью (гряда Чернышева) // Вестн. Ин-та геол. Коми НЦ УрО РАН. 2015. № 11. С. 13–18.
- Стрельченко Т.В., Кручек С.А.* Стратиграфия нижнефаменских отложений Припятского прогиба (Белоруссия) по конодонтам // Стратигр. Геол. корреляция. 2013. Т. 21. № 2. С. 22–42.
- Тагариева Р.Ч., Артьушкова О.В.* Конодонтовая зональность нижнефаменских отложений карбонатных разрезов западного склона Южного Урала // Бюлл. МОИП. Отд. геол. 2020. Т. 95. № 2. С. 26–41.
- Фортунатова Н.К., Зайцева Е.Л., Кононова Л.И. и др.* Литолого-фацальная и биостратиграфическая характеристика верхнедевонских отложений опорной скважины 1 Мелекесская (Мелекесская впадина, Волго-

- Уральская область) // Бюлл. МОИП. Отд. геол. 2018. Т. 93. № 5–6. С. 3–49.
- Халымбаджса В.Г.* Конодонты верхнего девона востока Русской платформы, Южного Тимана, Полярного Урала и их стратиграфическое значение. Казань: Изд-во Казанск. ун-та, 1981. 216 с.
- Халымбаджса В.Г., Чернышева Н.Г.* Конодонты верхнедевонских отложений центральной части Волго-Уральской области и их стратиграфическое значение // Стратиграфия и палеонтология палеозоя востока Русской платформы. Казань: Изд-во Казанск. ун-та, 1978. С. 3–42.
- Becker R.T., Hartenfels S.* Species list of *Palmatolepis* // Subcommission on Devonian Stratigraphy. Newsletter. 2016. № 31. P. 35–44.
- Branson E.B., Mehl M.G.* Conodonts from the Grassy Creek Shale of Missouri // Missouri Univ. Studies. 1934. V. 8. № 3. P. 171–259.
- Çapkinoglu S.* Conodont fauna and biostratigraphy of the Famennian of Büyükkada, İstanbul, Northwestern Turkey // Boll. Soc. Paleontol. Ital. 1997. V. 35. № 2. P. 165–185.
- Çapkinoglu S.* Upper Devonian (Upper Frasnian – Lower Famennian) conodont biostratigraphy of the Ayineburnu Formation (Istanbul Zone, NW Turkey) // Geol. Carpathica. 2005. V. 56. № 3. P. 223–236.
- Druce E.C.* Conodont Biostratigraphy of the Upper Devonian reef complexes of the Canning Basin, western Australia // Bull. Austral. Bur. Miner. Res. Geophys. 1976. № 158. 303 p.
- Dzik J.* The Famennian “Golgen age” of conodonts and ammonoids in the Polish part of the Variscan sea // Palaeontol. Pol. 2006. № 63. 359 p.
- Glenister B.F., Klapper G.* Upper Devonian conodonts from the Canning Basin, western Australia // J. Paleontol. 1966. V. 40. № 4. P. 777–842.
- Helms J.* Zur “Phylogenetese” und Taxonomie von *Palmatolepis* (Conodontida, Oberdevon) // Geologie. 1963. Bd 12. № 4. S. 449–485.
- Ji Q., Ziegler W.* The Lali section: An excellent reference section for Upper Devonian in South China // Cour. Forsch.-Inst. Senckenb. 1993. № 157. 183 p.
- Johnston D.I., Chatterton B.D.E.* Famennian conodont biostratigraphy of the Palliser Formation, Rocky Mountains, Alberta and British Columbia // Bull. Geol. Surv. Canada. 1991. № 417. P. 163–183.
- Johnston D.I., Chatterton B.D.E.* Upper Devonian (Famennian) conodonts from the Palliser Formation and Wabamun Group, Alberta and British Columbia, Canada // Paleontogr. Canad. 2001. № 19. 154 p.
- Klapper G., Lane H.R.* Upper Devonian (Frasnian) conodonts of the Polygnathus biofacies, N.W.T., Canada // J. Paleontol. 1985. V. 59. № 4. P. 904–951.
- Klapper G., Uyeno T.T., Armstrong D.K., Telford P.G.* Conodonts of the Williams Island and Long Rapids Formations (Upper Devonian, Frasnian–Famennian) of the Onakawana B drillhole, Moose River Basin, Northern Ontario, with a revision of Lower Famennian species // J. Paleontol. 2004. V. 78. № 2. P. 371–387.
- Metzger R.A.* Multielement reconstructions of *Palmatolepis* and *Polygnathus* (Upper Devonian, Famennian) from the Canning Basin, Australia, and Bactrian Mountain, Nevada // J. Paleontol. 1994. V. 68. № 3. P. 617–647.
- Müller K.J.* Zur Kenntnis der Conodonten-Fauna des europäischen Devons, 1. Die Gattung *Palmatolepis* // Abh. Senckenb. Naturforsch. Ges. 1956. № 494. 70 s.
- Over D.J.* Conodont biostratigraphy of the Java Formation (Upper Devonian) and the Frasnian–Famennian boundary in western N.Y. State // Geol. Soc. Amer. Spec. Pap. 1997. № 321. P. 161–177.
- Ovnatanova N.S.* Frasnian–Famennian conodonts of the Volgo-Ural Region // Serv. Geol. Belg. Prof. Pap. 1979. № 161. P. 62–70.
- Ovnatanova N.S., Kononova L.I.* Frasnian conodonts from Eastern Russian Platform // Paleontol. J. 2008. V. 42. № 10. P. 997–1166.
- Sandberg C.A., Ziegler W.* Refinement of standard Upper Devonian conodont zonation, based on sections in Nevada and West Germany // Geol. Palaeontol. 1973. V. 7. P. 97–122.
- Sannemann D.* Beitrag zur Untergliederung des Oberdevons nach Conodonten // N. Jb. Geol. Paläontol. Abh. 1955. Bd 100. № 8. S. 324–331.
- Savage N.M.* Late Devonian conodonts from Northwestern Thailand. Eugene: Trinity Press, 2013. 48 p.
- Savage N.M., Yudina A.B.* Late Devonian Syv'yu River Section, Timan Pechora basin, Northwestern Russia // Boll. Soc. Paleontol. Ital. 1999. V. 37. № 2–3. P. 361–373.
- Schlüke I.* Evolutive Prozesse bei *Palmatolepis* in der frühen Famenne-Stufe (Conodonta, Ober-Devon) // Göttingen Arb. Geol. Paläontol. 1995. № 67. 108 s.
- Silvério G.G., Valenzuelo-Ríos J.I., Liao J.* Upper Frasnian and lower Famennian (Upper Devonian) conodonts of the Compte section (Spanish Central Pyrenees) // Spanish J. Palaeontol. 2021. V. 36. № 2. P. 205–220.
- Spalletta C., Perri M.C., Over D.J., Corradini C.* Famennian (Upper Devonian) conodont zonation: revised global standard // Bull. Geosci. 2017. V. 92. № 1. P. 31–57.
- Spasov H., Filipović I.* The conodont fauna of the older and younger Palaeozoic in southeastern and northwestern Bosnia // Geol. Glasn. 1966. V. 11. P. 33–54 (In Bulgarian).
- Szulczewski M.* Upper Devonian conodonts, stratigraphy and facial development in the Holy Cross Mts. // Acta Geol. Pol. 1971. V. 21. № 1. 129 p.
- Wang C.Y.* Devonian conodonts of Guangxi // Mem. Nanjing Inst. Geol. Paleontol. 1989. V. 11. P. 51–96 (in Chinese).
- Wolska Z.* Upper Devonian conodonts from the southwest region of the Holy Cross Mountains, Poland // Acta Palaeontol. Pol. 1967. V. 12. № 4. P. 363–456.
- Ziegler W.* Conodontenfeinstratigraphische Untersuchungen an der Grenze Mittledevon/Oberdevon und in der Adorfstufe // Hess. L.-Amt. Bodenforsch. Notizbl. 1958. № 87. S. 7–77.
- Ziegler W.* Taxionomie und Phylogenie Oberdevonischer Conodonten und ihre stratigraphische Bedeutung // Hess. L.-Amt. Bodenforsch. Abh. 1962. № 38. 166 S.
- Ziegler W.* Eine neue Conodonten-Fauna aus dem höchsten Oberdevon // Forstschr. Geol. Rheinland Westfalen. 1969. № 17. S. 343–360.
- Ziegler W.* Conodont Stratigraphy of the European Devonian // Mem. Geol. Soc. Amer. 1971. № 127. P. 227–284.
- Ziegler W., Sandberg C.A.* The Late Devonian standard conodont zonation // Cour. Forsch.-Inst. Senckenb. 1990. № 121. 115 p.

**The Species *Palmatolepis tatarica* Ovnatanova et Gatovsky, 2020:
History of Its Separation and Interpretation in the World Literature
on Conodonts of the Late Devonian**

N. S. Ovnatanova¹, L. I. Kononova²

¹Research Geological Oil Institute, Moscow, 105118 Russia

²Lomonosov Moscow State University, Moscow, 119991 Russia

The article is devoted to a subspecies of *Pa. subperlobata*, the name of which changed for more than half a century from *Pa. subperlobata* subsp. a of Helms to the name *Pa. subperlobata helmsi* Ovnatanova, 1976 and subsequent renames associated, as it turned out later, with the preoccupation of the name helmsi. In the article, this subspecies is considered as an independent species and the similarities and differences of the holotype species *Pa. tatarica* Ovnatanova et Gatovsky, 2020 (= *Pa. subperlobata helmsi* Ovnatanova) with the holotypes of species recommended as replacement of the preoccupied name are discussed. The author's scheme of phylogenetic development of the *Pa. subperlobata* group is proposed.

Keywords: microfossils (conodonts), biostratigraphy, Late Devonian, Famennian, phylomorphogenesis